

การวิเคราะห์โภเกนโมดของเล่นไยແສງທີ່ມີຄວາມສມາຕຽບແນວແກນໂດຍວິທີໄຟໄຟອື່ນເນັ້ນ

นาย ກѹษณ ມັນຕາວິຈັກຂົນ



ວິທະນີພົນຮີນີ້ເປັນສ່ວນໜຶ່ງຂອງການຮຶກສູງສະຫະລຸງວິຊາວິຊາຄາສຕະໜາບັນທຶກ  
ການວິຊາວິຊາການໄຟຟ້າ

ບັນທຶກວິທະນີ ຈຸ່າລັງກຣະນຸມທະວິທະນີ

ປີການຮຶກສູງ 2539

ISBN 974-636-303-4

ລົດລົກທີ່ຂອງບັນທຶກວິທະນີ ຈຸ່າລັງກຣະນຸມທະວິທະນີ

EIGENMODE ANALYSIS OF AXIALLY SYMMETRIC OPTICAL FIBERS  
BY THE FINITE ELEMENT METHOD

Mr. Kit Muntavijak

A Thesis Submitted in Partial Fulfillment of the Requirements  
for the Degree of Master of Engineering  
Department of Electrical Engineering  
Graduate School  
Chulalongkorn University  
Academic year 1996  
ISBN 974-636-303-4

หัวข้อวิทยานิพนธ์

การวิเคราะห์โอลิเกนโมดูลของเล่นไอย่างที่มีความสมมาตรรอบแนวแกน โดยวิธีไฟแนลลิสเม้นท์

โดย

นาย กฤษณ์ มัณฑาวิจักษณ์

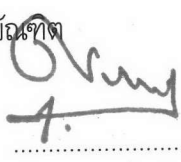
ภาควิชา

วิศวกรรมไฟฟ้า

อาจารย์ที่ปรึกษา

อาจารย์ ดร. ทับทิม อ่างแก้ว

บันทึกวิทยาลัย จุฬาลงกรณ์มหาวิทยาลัย อนุมัติให้บัณฑิตวิทยานิพนธ์ฉบับนี้เป็นส่วนหนึ่งของ  
การศึกษาตามหลักสูตรปริญญามหาบัณฑิต

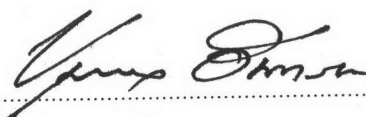
คณบดีบันทึกวิทยาลัย

( ศาสตราจารย์ นพ. คุรุวัฒน์ ชุติวงศ์ )

คณะกรรมการสอบบัณฑิตวิทยานิพนธ์

 ประธานกรรมการ  
( ศาสตราจารย์ ดร. มงคล เดชนครินทร์ )

 อาจารย์ที่ปรึกษา  
( อาจารย์ ดร. ทับทิม อ่างแก้ว )

 กรรมการ  
( รองศาสตราจารย์ ดร. ชุมพล อันตรเสน )

 กรรมการ  
( รองศาสตราจารย์ ดร. ปราโมทย์ เดชะอำไพ )



## พิมพ์ต้นฉบับทัศน์อวิทยานิพนธ์ภายในกรอบสีเขียวที่เพียงแผ่นเดียว

กฤษณ์ มันตาวิจักษณ์ : การวิเคราะห์โอลูเมต์ของเลนส์ไฟแสงที่มีความสมมาตรรอบแนวแกนโดยวิธีไฟโนร์อีลีเมนท์ (EIGENMODE ANALYSIS OF AXIALLY SYMMETRIC OPTICAL FIBERS BY THE FINITE ELEMENT METHOD) อ.ที่ปรึกษา : อ.ดร. ทับทิม อ่างแก้ว ; 92 หน้า,  
ISBN 974-636-303-4.

การวิจัยครั้งนี้มีจุดมุ่งหมายเพื่อศึกษาวิธีการวิเคราะห์สนา�แม่เหล็กไฟฟ้าของแสงที่เดินทางในเลนส์ไฟแสง โดยวิธีไฟโนร์อีลีเมนท์ ซึ่งมีการนำเทคนิคการแปลงบริเวณ (mapping technique) มาใช้ในการวิเคราะห์บริเวณที่มีลักษณะเปิด (open region) ให้เป็นบริเวณที่มีขอบเขตจำกัด (bounded region) เพื่อให้การคำนวณโดยวิธีไฟโนร์อีลีเมนท์มีความละเอียดแม่นยำเพิ่มขึ้นและจำนวนอีลีเมนท์ที่ใช้ลดลง

แนวทางการวิจัยนี้ สมการแปรผัน (variational expression) ใช้องค์ประกอบของสนามไฟฟ้าเป็นพังก์ชันทดสอบ รูปแบบของเลนส์ไฟแสงที่ใช้ทดสอบจำกัดเฉพาะเลนส์ไฟแสงที่มีการกระจายตัวของค่าดัชนีทั้งของแสง (refractive index) อย่างที่มีความสมมาตรรอบแนวแกนเท่านั้น ปัญหาที่มีรูปแบบเลนส์ไฟแสงแบ่งออกเป็น 3 ส่วนคือ บริเวณแกน (บริเวณจำกัด) บริเวณวัสดุทุ่ม (cladding) เป็นบริเวณจำกัด และบริเวณระยะไกล (outer domain) ซึ่งเป็นบริเวณเปิด ในบริเวณระยะไกลเทคนิคการแปลงบริเวณจะถูกนำมาประยุกต์ใช้ร่วมกับวิธีไฟโนร์อีลีเมนท์ สำหรับเทคนิคการแปลงบริเวณที่น่าสนใจนี้คือ

1. พังก์ชันลอการิทึมธรรมชาติ
2. พังก์ชันเอกซ์โพเนนเชียล

ในงานวิจัยนี้คุณลักษณะการแพร่กระจายคลื่นแสง (propagation characteristic) ในเลนส์ไฟแสงเป็นสิ่งที่ต้องการวิเคราะห์ ค่าตอบที่ใช้เป็นตัวทดสอบความแม่นตรายของแต่ละวิธีคือค่าคงตัวการแพร่กระจายบริหัติฐาน (normalize propagation constant) โดยทดสอบที่ความถี่บริหัติฐานเดียว (normalize frequency) ที่มีรูปแบบการกระจายตัวของค่าดัชนีทั้งของแสงเป็นแบบขั้นบันได (step-index) , และแบบดัชนีลาก (grad-index)

ผลการวิจัยพบว่า วิธีไฟโนร์อีลีเมนท์ที่มีการนำเทคนิคการแปลงบริเวณด้วยพังก์ชันลอการิทึมและเอกซ์โพเนนเชียลที่บริเวณระยะไกลเป็นวิธีที่มีประสิทธิภาพเมื่อทดสอบค่าตอบแม่นตราย โดยเฉพาะเมื่อทดสอบใกล้ความถี่คัดขอฟังก์ชันการแปลงบริเวณแบบลอการิทึมจะมีความแม่นตรายสูงกว่าแบบเอกซ์โพเนนเชียล ดังนั้นวิธีไฟโนร์อีลีเมนท์ที่มีการนำเทคนิคการแปลงบริเวณด้วยพังก์ชันลอการิทึมที่บริเวณระยะไกลจึงเป็นวิธีที่มีประสิทธิภาพสูงสุดในงานวิจัยนี้

ภาควิชา ..... วิศวกรรมไฟฟ้า  
สาขาวิชา ..... วิศวกรรมไฟฟ้า  
ปีการศึกษา ..... 2539

ลายมือชื่อนิสิต ..... ศศุจันทร์ ศรีนฤาษีชัย .....  
ลายมือชื่ออาจารย์ที่ปรึกษา ..... ดร. ทับทิม อ่างแก้ว .....  
ลายมือชื่ออาจารย์ที่ปรึกษาร่วม .....

พิมพ์ต้นฉบับบทคดีอวิทยานิพนธ์ภายในกรอบสีเขียวที่เพียงแผ่นเดียว

## C615528 : MAJOR ELECTRICAL ENGINEERING

KEY WORD: MAPPING TECHNIQUE / FIBER OPTICAL / FINITE ELEMENT METHOD

KIT MUNTAVIJAK: EIGENMODE ANALYSIS OF AXIALLY SYMMETRIC OPTICAL FIBERS BY THE FINITE ELEMENT METHOD. THESIS ADVISOR: TUPTIM ANGKAEW, D.Eng. 92 pp. ISBN 974-636-303-4.

This research has the objective to study analysis electromagnetic wave in optical fiber by finite element method. A mapping technique is proposed to transform the finite element method of the open region into bounded region. In this method, the finite element that apply mapping technique in the open region are more accurated using fewer number of elements.

A variational expression using the electric field components as the trial function is presented. This thesis is restricted for refractive index of optical fiber that axially symmetric. The problem of pattern of the optical fiber are divided into three domains : the core domain (bounded region), the cladding domain (bounded region), and the outer domain (open region). The outer domain, mapping technique are applied together with finite element method. The mapping technique function that presented are

1. natural logarithm function
2. exponential function

In this research, the propagation characteristics in optical fiber are analysed. The solution that used for solving the accuracy of mapping technique is the normalize propagation constants by trial at any normalize frequency. The refractive-index pattern are step-index fiber and grad-index fiber pattern.

The results of research found that the finite element method applied mapping technique with natural logarithm function and exponential function in outer domain is the efficiency method for testing accurated answer. Especially, testing near cutoff frequency function of mapping technique with natural logarithm is more accurated than exponential function. So that the finite element method applied mapping technique with natural logarithm function is the most efficient in this research.

ภาควิชา..... วิศวกรรมไฟฟ้า .....

ลายมือชื่อนิสิต..... ๗๗๙/..... วิจัยภักชณ์.....

สาขาวิชา..... วิศวกรรมไฟฟ้า .....

ลายมือชื่ออาจารย์ที่ปรึกษา..... รุ่ง.....

ปีการศึกษา..... 2539 .....

ลายมือชื่ออาจารย์ที่ปรึกษาร่วม.....

## กิตติกรรมประกาศ

วิทยานิพนธ์ฉบับนี้ได้สำเร็จลุล่วงไปได้ด้วยความช่วยเหลืออย่างดีของอาจารย์ ดร. ทับทิม อ่างแก้ว  
อาจารย์ที่ปรึกษาวิทยานิพนธ์ ซึ่งท่านได้ให้คำแนะนำและข้อคิดเห็นต่างๆ ของงานวิจัยมาด้วยดีตลอด

ขอขอบพระคุณคณะกรรมการสอบวิทยานิพนธ์ ศ.ดร.มงคล เดชนครินทร์ รศ.ดร.ชุมพล อันตรเสน  
และ รศ.ดร. ปราวิษฐ์ เดชะอัมพร

ขอขอบคุณ คุณน้ำจำลองและคุณน้ำปังอร เงินดี ที่ให้คำปรึกษาปัญหาต่างๆ และให้กำลังใจมาโดย  
ตลอดจนสำเร็จการศึกษา

ขอขอบคุณ น.ส. เนาวรัตน์ เติมตรากุล ที่เป็นกำลังใจมาโดยตลอดจนสามารถสำเร็จการศึกษาดังที่  
ตั้งใจไว้

ขอขอบคุณ นาย ชัยรัตน์ พิฒทอง บัณฑิตคณะวิศวกรรมศาสตร์ที่ให้ข้อคิดเห็นที่เป็นประโยชน์ต่อ  
งานวิจัยนี้

ท้ายนี้ ผู้ทำวิจัยได้รับขอบข้อมูลดีมาก บิดา-มารดา ซึ่งสนับสนุนในด้านการเงินและให้กำลังใจแก่ผู้  
วิจัยเสมอมาจนสำเร็จการศึกษา

## สารบัญ

บทคัดย่อภาษาไทย .....	๑
บทคัดย่อภาษาอังกฤษ .....	๒
กิตติกรรมประกาศ .....	๓
สารบัญตาราง .....	๔
สารบัญภาพ .....	๕
คำอธิบายสัญลักษณ์และคำย่อ .....	๖

## บทที่

1. บทนำ .....	1
-ความเป็นมา .....	1
1. เส้นใยแสงแบบดัชนีขั้นบันได (step-index) .....	2
2. เส้นใยแสงแบบดัชนีลาด (grad-index) .....	3
-แนวทางการวิเคราะห์คุณลักษณะการเพริ่กระยะคลื่นแสงในเส้นใยแสง .....	4
1. วิธีเชิงวิเคราะห์ .....	4
2. วิธีเชิงตัวเลข .....	4
-แนวความคิดพื้นฐานของวิธีไฟไนต์อิลิเมนท์ .....	5
-รูปแบบบัญหาเส้นใยแสง .....	6
-เทคนิคการแก้ปัญหาเส้นใยแสงด้วยไฟไนต์อิลิเมนท์ที่ขอบเขตของปัญหา เป็นบริเวณเปิด .....	8
-วัตถุประสงค์ของงานวิจัยนี้ .....	10
-วิธีดำเนินงานและขอบเขตของการวิจัย .....	10
-ประโยชน์ของงานวิจัยนี้ .....	11
2. หลักการวิเคราะห์เส้นใยแสงที่มีความสมมาตรรอบแนวแกนด้วยวิธีไฟไนต์อิลิเมนท์ .....	12
-ความนำ .....	12
-สมการพื้นฐาน .....	13
1. สมการแมกซ์велล .....	13

## สารบัญ (ต่อ)

2. เสื่อนไชขอบเขต .....	15
-หลักการและขั้นตอนของวิธีไฟแนตอีลีเมนท์ .....	15
1. นิพจน์แปรผัน .....	15
2. นิพจน์แปรผันในระบบพิกัดทรงกรวยของ .....	17
3. พังก์ชันรูปวงและ การจัดรูปแบบตรีกิริย์ .....	19
4. เสื่อนไชการคำนวณไฮซัมมูมทิก .....	24
 3. เทคนิคการแปลงบริเวณแบบ $s = \ln(r)$ .....	 28
-ความนำ .....	28
1. ลักษณะปัญหาของเส้นใยแสงและการนำเทคนิคการแปลงบริเวณแบบ $s = \ln(r)$ มาใช้ .....	29
2. การนำเทคนิคการแปลงบริเวณแบบ $s = \ln(r)$ มาประยุกต์ ใช้ในระบบสมการ .....	31
 -ตัวอย่างการคำนวณ .....	 36
1. การคำนวณค่าคงตัวการเพร่กระจายบริหัติฐานที่มีรูปแบบการกระจายตัว ของค่าดัชนีหักเหของแสงเป็นแบบขั้นบันได โดยเทคนิคการแปลงบริเวณแบบ $s = \ln(r)$ และวิธีที่ไม่ใช้เทคนิคการแปลงบริเวณ .....	36
2. การคำนวณค่าคงตัวการเพร่กระจายบริหัติฐานที่มีรูปแบบการกระจายตัว ของค่าดัชนีหักเหของแสงเป็นแบบขั้นบันได โดยที่มีการปรับตัวแปร 5 ค่า คือ จำนวนอีลีเมนท์ในแกน , จำนวนอีลีเมนท์ในวัสดุหุ้ม , จำนวนอีลีเมนท์ ในบริเวณระยะใกล้ , รัศมี $r_n$ และ รัศมี $r_s$ ที่ความถี่บรรหัติฐาน = 1.5 โมด $HE_{11}$ .....	37
3. การคำนวณค่าคงตัวการเพร่กระจายบริหัติฐานที่มีรูปแบบการกระจายตัว ของค่าดัชนีหักเหของแสงเป็นแบบขั้นบันได โดยที่มีการปรับตัวแปร 5 ค่า คือ จำนวนอีลีเมนท์ในแกน , จำนวนอีลีเมนท์ในวัสดุหุ้ม , จำนวนอีลีเมนท์ ในบริเวณระยะใกล้ , รัศมี $r_n$ และ รัศมี $r_s$ ที่ความถี่บรรหัติฐาน = 4.0 โมด $HE_{11}$ .....	40
4. การคำนวณค่าคงตัวการเพร่กระจายบริหัติฐานที่มีรูปแบบการกระจายตัว ของค่าดัชนีหักเหของแสงแบบดัชนีขั้นบันได คำนวณที่ความถี่เดียว .....	44

## สารบัญ (ต่อ)

5. การคำนวณค่าคงตัวการเผยแพร่กระจายบริหัดฐานที่มีรูปแบบการกระจายตัวของค่าดัชนีหักเหของแสงแบบดัชนีลาด คำนวณที่ความถี่เดียว.....	45
-สูตรผลการคำนวณ .....	46
 4. เทคนิคการแปลงบริเวณแบบ $s = e^{(-\alpha r)}$ .....	47
-ความนำ .....	47
1. ลักษณะปัญหาของเลนส์ไนแอร์และการนำเทคนิคการแปลงบริเวณแบบ $s = e^{(-\alpha r)}$ มาใช้.....	48
2. การนำเทคนิคการแปลงบริเวณแบบ $s = e^{(-\alpha r)}$ มาประยุกต์ใช้ในระบบสมการ.....	50
-ตัวอย่างการคำนวณ .....	55
1. การคำนวณค่าคงตัวการเผยแพร่กระจายบริหัดฐานที่มีรูปแบบการกระจายตัวของค่าดัชนีหักเหของแสงเป็นแบบขั้นบันได ด้วยเทคนิคการแปลงบริเวณแบบ $r = e^{(-\alpha r)}$ และวิธีที่ไม่ใช้เทคนิคการแปลงบริเวณ .....	55
2. การคำนวณค่าคงตัวการเผยแพร่กระจายบริหัดฐานที่มีรูปแบบการกระจายตัวของค่าดัชนีหักเหของแสงเป็นแบบขั้นบันได โดยที่มีการปรับตัวแปร 5 ค่า คือ จำนวนอีลีเมนท์ในแกน , จำนวนอีลีเมนท์ในวัสดุหุ้ม , จำนวนอีลีเมนท์ในบริเวณระยะใกล้ , รัศมี $r_1$ และ รัศมี $r_2$ ที่ความถี่บริหัดฐาน = 1.5 โมด $HE_{11}$ .....	57
3. การคำนวณค่าคงตัวการเผยแพร่กระจายบริหัดฐานที่มีรูปแบบการกระจายตัวของค่าดัชนีหักเหของแสงเป็นแบบขั้นบันได โดยที่มีการปรับตัวแปร 5 ค่า คือ จำนวนอีลีเมนท์ในแกน , จำนวนอีลีเมนท์ในวัสดุหุ้ม , จำนวนอีลีเมนท์ในบริเวณระยะใกล้ , รัศมี $r_1$ และ รัศมี $r_2$ ที่ความถี่บริหัดฐาน = 4.0 โมด $HE_{11}$ .....	60
4. การคำนวณหาผลของค่า $\alpha$ ที่ผลมีต่อการคำนวณ.....	64
5. การคำนวณค่าคงตัวการเผยแพร่กระจายบริหัดฐานที่มีรูปแบบการกระจายตัวของค่าดัชนีหักเหของแสงแบบดัชนีขั้นบันได คำนวณที่ความถี่เดียว.....	67
6. การคำนวณค่าคงตัวการเผยแพร่กระจายบริหัดฐานที่มีรูปแบบการกระจายตัวของค่าดัชนีหักเหของแสงแบบดัชนีลาด คำนวณที่ความถี่เดียว.....	68

## สารบัญ ( ต่อ )

-สรุปผลการคำนวณ .....	69
5. บทสรุป.....	71
-ความนำ .....	71
-การคำนวณค่าคงตัวการแพร่กระจายบริหัดฐานที่มีรูปแบบการกระจายตัวของ ค่าดัชนีหักเหของแสงเป็นแบบขั้นบันได เปรียบเทียบระหว่างเทคนิคการแปลง บริเวณแบบ $s = \ln(r)$ และ $s = e^{(-ar)}$ โดยที่มีการปรับตัวแปร 5 ค่า คือ <sup>*</sup> จำนวนอีเมนท์ในแกน, จำนวนอีเมนท์ในวัสดุหุ้ม, จำนวนอีเมนท์ในบริเวณ ระยะใกล้, รัศมี $r_n$ และ รัศมี $r_\infty$ ที่ความถี่บริหัดฐาน = 1.5 โมด $HE_{11}$ .....	71
-การคำนวณค่าคงตัวการแพร่กระจายบริหัดฐานที่มีรูปแบบการกระจายตัวของ ค่าดัชนีหักเหของแสงเป็นแบบขั้นบันได เปรียบเทียบระหว่างเทคนิคการแปลง บริเวณแบบ $s = \ln(r)$ และ $s = e^{(-ar)}$ โดยที่มีการปรับตัวแปร 5 ค่า คือ <sup>*</sup> จำนวนอีเมนท์ในแกน, จำนวนอีเมนท์ในวัสดุหุ้ม, จำนวนอีเมนท์ในบริเวณ ระยะใกล้ , รัศมี $r_n$ และ รัศมี $r_\infty$ ที่ความถี่บริหัดฐาน = 4.0 โมด $HE_{11}$ .....	71
-การคำนวณค่าคงตัวการแพร่กระจายบริหัดฐานที่มีรูปแบบการกระจายตัวของค่า ดัชนีหักเหของแสงเป็นแบบ triangular profile .....	78
-สรุปผลการคำนวณ .....	79
-บทสรุป.....	80
เอกสารอ้างอิง.....	81
ภาคผนวก.....	83
ภาคผนวก ก. การเข้าสมการระบบโดยวิธีเรย์ลี-ริตซ์ .....	84
ภาคผนวก ข. การจัดรูปแบบของเทอม $a$ และ $n(r)$ ให้อยู่ในรูปของเทอม $n_c$ .....	88
ประวัติผู้เขียน .....	92

## สารบัญตาราง

ตารางที่ 3.1 การคำนวณค่าคงตัวการแพร์gradeจาบวรหัดฐานที่มีรูปแบบฟังก์ชันการแปลงบริเวณเป็นแบบ $r = \ln(r)$ เปรียบเทียบกับวิธีที่ไม่ใช้เทคนิคการแปลงบริเวณ คำนวณที่ $V=1.5$ โมด $HE_{11}$ รูปแบบการการกระจายตัวของค่าดัชนีหักเหของแสงเป็นแบบขั้นบันได .....	36
ตารางที่ 3.2 การคำนวณค่าคงตัวการแพร์gradeจาบวรหัดฐานที่มีรูปแบบฟังก์ชันการแปลงบริเวณเป็นแบบ $r = \ln(r)$ เปรียบเทียบกับวิธีที่ไม่ใช้เทคนิคการแปลงบริเวณ คำนวณที่ $V=4.0$ โมด $HE_{11}$ รูปแบบการการกระจายตัวของค่าดัชนีหักเหของแสงเป็นแบบขั้นบันได .....	37
ตารางที่ 3.3 การคำนวณค่าคงตัวการแพร์gradeจาบวรหัดฐานที่มีรูปแบบฟังก์ชันการแปลงบริเวณเป็นแบบ $s = \ln(r)$ คำนวณที่ $V=1.5$ โมด $HE_{11}$ รูปแบบการการกระจายตัวของค่าดัชนีหักเหของแสงเป็นแบบขั้นบันได โดยที่มีการปรับค่าตัวแปร 5 ตัว คือ อีลีเมนท์ในแกน, อีลีเมนท์ในวัสดุทึม, อีลีเมนท์ในระยะไกล, $r_n$ , $r_\infty$ .....	38
ตารางที่ 3.4 การคำนวณค่าคงตัวการแพร์gradeจาบวรหัดฐานที่มีรูปแบบฟังก์ชันการแปลงบริเวณเป็นแบบ $s = \ln(r)$ คำนวณที่ $V=4.0$ โมด $HE_{11}$ รูปแบบการการกระจายตัวของค่าดัชนีหักเหของแสงเป็นแบบขั้นบันได โดยที่มีการปรับค่าตัวแปร 5 ตัว คือ อีลีเมนท์ในแกน, อีลีเมนท์ในวัสดุทึม, อีลีเมนท์ในระยะใกล้, $r_n$ , $r_\infty$ .....	41
ตารางที่ 4.1 การคำนวณค่าคงตัวการแพร์gradeจาบวรหัดฐานที่มีรูปแบบฟังก์ชันการแปลงบริเวณเป็นแบบ $r = e^{(-\alpha r)}$ เปรียบเทียบกับวิธีที่ไม่ใช้เทคนิคการแปลงบริเวณ คำนวณที่ $V=1.5$ โมด $HE_{11}$ รูปแบบการการกระจายตัวของค่าดัชนีหักเหของแสงเป็นแบบขั้นบันได .....	56
ตารางที่ 4.2 การคำนวณค่าคงตัวการแพร์gradeจาบวรหัดฐานที่มีรูปแบบฟังก์ชันการแปลงบริเวณเป็นแบบ $r = e^{(-\alpha r)}$ เปรียบเทียบกับวิธีที่ไม่ใช้เทคนิคการแปลงบริเวณ คำนวณที่ $V=4.0$ โมด $HE_{11}$ รูปแบบการการกระจายตัวของค่าดัชนีหักเหของแสงเป็นแบบขั้นบันได .....	56
ตารางที่ 4.3 การคำนวณค่าคงตัวการแพร์gradeจาบวรหัดฐานที่มีรูปแบบฟังก์ชันการแปลงบริเวณเป็นแบบ $r = e^{(-\alpha r)}$ คำนวณที่ $V=1.5$ โมด $HE_{11}$ รูปแบบการการกระจายตัวของค่าดัชนีหักเหของแสงเป็นแบบขั้นบันได โดยที่มีการปรับค่าตัวแปร 5 ตัว คือ อีลีเมนท์ในแกน, อีลีเมนท์ในวัสดุทึม, อีลีเมนท์ในระยะใกล้, $r_n$ , $r_\infty$ .....	58

## สารบัญตาราง (ต่อ)

ตารางที่ 4.4 การคำนวณค่าคงตัวการแพร่กระจายบริหัติฐานที่มีรูปแบบฟังก์ชันการแปลงบริเวณเป็นแบบ $r = e^{(-\alpha r)}$ จำนวนที่ $V=4.0$ โดย $HE_{11}$ รูปแบบการกระจายตัวของค่าดัชนีหักเหของแสงเป็นแบบขั้นบันได โดยที่มีการปรับค่าตัวแปร 5 ตัว คือ อีลีเมนท์ในแกน, อีลีเมนท์ในรัศมีทุ่ม, อีลีเมนท์ในระยะไกล, $r_n$ , $r_\infty$ .....	61
ตารางที่ 4.5 การคำนวณผลของค่า $\alpha$ ที่มีต่อการคำนวณที่ $V=1.5$ โดย $HE_{11}$ .....	64
ตารางที่ 4.6 การคำนวณผลของค่า $\alpha$ ที่มีต่อการคำนวณที่ $V=4.0$ โดย $HE_{11}$ .....	66
ตารางที่ 5.1 การคำนวณค่าคงตัวการแพร่กระจายบริหัติฐานที่มีรูปแบบฟังก์ชันการแปลงบริเวณเป็นแบบ $r = \ln(r)$ , $s = e^{(-\alpha r)}$ จำนวนที่ $V=1.5$ โดย $HE_{11}$ รูปแบบการกระจายตัวของค่าดัชนีหักเหของแสงเป็นแบบขั้นบันได โดยที่มีการปรับค่าตัวแปร 5 ตัว คือ อีลีเมนท์ในแกน, อีลีเมนท์ในรัศมีทุ่ม, อีลีเมนท์ในระยะไกล, $r_n$ , $r_\infty$ .....	71
ตารางที่ 5.2 การคำนวณค่าคงตัวการแพร่กระจายบริหัติฐานที่มีรูปแบบฟังก์ชันการแปลงบริเวณเป็นแบบ $r = \ln(r)$ , $s = e^{(-\alpha r)}$ จำนวนที่ $V=4.0$ โดย $HE_{11}$ รูปแบบการกระจายตัวของค่าดัชนีหักเหของแสงเป็นแบบขั้นบันได โดยที่มีการปรับค่าตัวแปร 5 ตัว คือ อีลีเมนท์ในแกน, อีลีเมนท์ในรัศมีทุ่ม, อีลีเมนท์ในระยะไกล, $r_n$ , $r_\infty$ .....	75
ตารางที่ 5.3 การคำนวณประสิทธิภาพของวิธีไฟแนนซ์อีลีเมนท์ที่ใช้เทคนิคการแปลงบริเวณด้วยฟังก์ชัน $s = \ln(r)$ รูปแบบการกระจายตัวของค่าดัชนีหักเหของแสงเป็นแบบ triangular profile.....	79

## สารบัญภาพ

รูปที่ 1.1	โครงสร้างของเส้นไฮแสงในแนวภาคตัดขวาง .....	1
รูปที่ 1.2	โครงสร้างของเส้นไฮแสงในระพิกัดทรงกระบอก .....	2
รูปที่ 1.3	ตัวอย่างการเปลี่ยนแปลงของค่าดัชนีหักเหของแสงแบบขั้นบันได .....	2
รูปที่ 1.4	ตัวอย่างการเปลี่ยนแปลงของค่าดัชนีหักเหของแสงแบบดัชนีลาด .....	3
รูปที่ 1.5	ลักษณะของปัญหาเส้นไฮแสงที่เป็นบริเวณเปิด .....	7
รูปที่ 1.6	ตัวอย่างแบบรูปของสนามไฟฟ้าในเส้นไฮแสงแบบแผนคุ่ขาน .....	7
รูปที่ 1.7	ฟังก์ชันการแปลงบริเวณแบบ $s = \ln(r)$ .....	9
รูปที่ 1.10	ฟังก์ชันการแปลงบริเวณแบบ $s = e^{(-\alpha r)}$ .....	10
 รูปที่ 2.1	โครงสร้างของเส้นไฮแสงในภาคตัดขวางที่มีความสมมาตรในแนวแกน z .....	13
รูปที่ 2.2	แสดงเงื่อนไขขอบเขตบนผนังเส้นไฮแสง .....	15
รูปที่ 2.3 ก	ความสัมพันธ์ระหว่างระบบพิกัดทรงกระบอกและระบบพิกัดมุมฉาก .....	18
รูปที่ 2.3 ข	ความสัมพันธ์ในการเปลี่ยนระบบพิกัดของฟังก์ชันทดสอบ $f_r, f_\theta$ .....	18
รูปที่ 2.3 ค	ความสัมพันธ์ในการเปลี่ยนระบบพิกัดของฟังก์ชันทดสอบ $g_r(r)$ .....	18
รูปที่ 2.4	ตัวอย่างการแบ่งโดเมนอย่าง (element) ของเส้นไฮแสง (ในภาคตัดขวาง) .....	19
รูปที่ 2.5	ฟังก์ชันที่ใช้ในการทดสอบฟังก์ชันขั้นบันได .....	20
รูปที่ 2.6 ก	ฟังก์ชันที่ใช้ในการทดสอบฟังก์ชันรูปท็อปแบบ $\frac{r_m}{r} u_m(r)$ .....	20
รูปที่ 2.6 ข	ฟังก์ชันที่ใช้ในการทดสอบฟังก์ชันรูปท็อปแบบ $u_m(r)$ .....	21
 รูปที่ 3.1	ลักษณะปัญหาเส้นไฮแสงที่ใช้ในการพิจารณา .....	28
รูปที่ 3.2	ตัวอย่างการแบ่งอีลิเมนท์ในเส้นไฮแสง .....	30
รูปที่ 3.3	การกระจายของสนามไฟฟ้าในเส้นไฮแสงแบบแผนคุ่ขาน .....	30
รูปที่ 3.4	ฟังก์ชันการแปลงบริเวณแบบ $s = \ln(r)$ .....	31
รูปที่ 3.5	การแบ่งโดเมนที่ใช้ในการพิจารณา .....	32
รูปที่ 3.6	ตัวอย่างรูปแบบค่าดัชนีหักเหของแสงแบบขั้นบันได .....	36
รูปที่ 3.7	ตัวอย่างรูปแบบค่าดัชนีหักเหของแสงแบบขั้นบันได .....	37
รูปที่ 3.8	ตัวอย่างรูปแบบค่าดัชนีหักเหของแสงแบบขั้นบันได .....	41

## สารบัญภาพ (ต่อ)

รูปที่ 3.9	ตัวอย่างรูปแบบค่าดัชนีหักเหของแสงแบบขั้นบันได.....	44
รูปที่ 3.10	ตัวอย่างการคำนวณค่าคงที่การเพริ่งกระจายบริสุทธิ์ฐานคำนวณที่ความถี่ได ๆ โดยที่เทคนิคการแปลงบริเวณแบบ $s = \ln(r)$ รูปแบบค่าดัชนีหักเหของแสง เป็นแบบขั้นบันได .....	45
รูปที่ 3.11	ตัวอย่างรูปแบบค่าดัชนีหักเหของแสงแบบดัชนีลาด.....	45
รูปที่ 3.12	ตัวอย่างการคำนวณค่าคงที่การเพริ่งกระจายบริสุทธิ์ฐานคำนวณที่ความถี่ได ๆ โดยที่เทคนิคการแปลงบริเวณแบบ $s = \ln(r)$ รูปแบบค่าดัชนีหักเหของแสง เป็นแบบดัชนีลาด .....	46
รูปที่ 4.1	ลักษณะปัญหาเลี้ยงแสงที่ใช้ในการพิจารณา.....	47
รูปที่ 4.2	ตัวอย่างการแบ่งอีเม่นท์ในเลี้ยงแสง .....	49
รูปที่ 4.3	ตัวอย่างแบบรูปของสนามไฟฟ้าในเลี้ยงแสงแบบแผ่นคู่ขนาน .....	49
รูปที่ 4.4	พังก์ชันการแปลงบริเวณแบบ $s = e^{(-\alpha r)}$ .....	50
รูปที่ 4.5	การแบ่งโดเมนที่ใช้ในการพิจารณา.....	51
รูปที่ 4.6	ตัวอย่างรูปแบบค่าดัชนีหักเหของแสงแบบขั้นบันได.....	55
รูปที่ 4.7	ตัวอย่างรูปแบบค่าดัชนีหักเหของแสงแบบขั้นบันได.....	57
รูปที่ 4.8	ตัวอย่างรูปแบบค่าดัชนีหักเหของแสงแบบขั้นบันได.....	60
รูปที่ 4.9	ตัวอย่างรูปแบบค่าดัชนีหักเหของแสงแบบขั้นบันได.....	64
รูปที่ 4.10	แสดงค่าความผิดพลาดเมื่อมีการปรับขนาดของค่า $\alpha$ .....	67
รูปที่ 4.11	ตัวอย่างรูปแบบค่าดัชนีหักเหของแสงแบบขั้นบันได.....	67
รูปที่ 4.12	ตัวอย่างการคำนวณค่าคงที่การเพริ่งกระจายบริสุทธิ์ฐานคำนวณที่ความถี่ได ๆ โดยที่เทคนิคการแปลงบริเวณแบบ $s = e^{(-\alpha r)}$ รูปแบบค่าดัชนีหักเหของแสง เป็นแบบขั้นบันได .....	68
รูปที่ 4.13	ตัวอย่างรูปแบบการกระจายตัวของค่าดัชนีหักเหของแสงแบบดัชนีลาด .....	68
รูปที่ 4.14	ตัวอย่างการคำนวณค่าคงที่การเพริ่งกระจายบริสุทธิ์ฐานคำนวณที่ความถี่ได ๆ โดยที่เทคนิคการแปลงบริเวณแบบ $s = e^{(-\alpha r)}$ รูปแบบค่าดัชนีหักเหของแสง เป็นแบบดัชนีลาด .....	69

### สารบัญภาพ (ต่อ)

รูปที่ 5.1	ตัวอย่างการกระจายตัวของค่าดัชนีหักเหของแสงแบบ triangular profile.....	78
รูปที่ 5.2	ตัวอย่างการคำนวณคาดการที่การเผยแพร่กระจายบริเวณที่ด้านบนทดสอบที่ความถี่ได ๆ โดยเทคนิคการแปลงบริเวณแบบ $s = \ln(r)$ รูปแบบดัชนีหักเหของแสงเป็นแบบ triangular profile .....	79

## คำอธิบายสัญลักษณ์และคำย่อ

### สัญลักษณ์

### ความหมาย

$a$	ความแตกต่างของค่าดัชนีทั้งสอง (refractive index difference)
$a(f_r, f_\theta)$	พังค์ชันผลที่มีองค์ประกอบเป็น $(f_r, f_\theta)$
$A_{f_r f_r}$	เมตริกซ์จัตุรัส [A] ที่มีองค์ประกอบของ $(f_r, f_r)$
$A_{f_r f_\theta}$	เมตริกซ์จัตุรัส [A] ที่มีองค์ประกอบของ $(f_r, f_\theta)$
$A_{f_\theta f_r}$	เมตริกซ์จัตุรัส [A] ที่มีองค์ประกอบของ $(f_\theta, f_r)$
$A_{f_\theta f_\theta}$	เมตริกซ์จัตุรัส [A] ที่มีองค์ประกอบของ $(f_\theta, f_\theta)$
$[A]$	เมตริกซ์จัตุรัส (square matrix)
$B$	ค่าคงที่การแพร่กระจายบริหัดฐาน (normalize propagation constant)
<b>B</b>	ความหนาแน่นฟลักซ์แม่เหล็ก (magnetic flux density)
$\beta$	ค่าคงที่การแพร่กระจาย (propagation constant)
$b(f_r, f_\theta, g)$	พังค์ชันผลที่มีองค์ประกอบเป็น $(f_r, f_\theta, g)$
$B_{f_r f_r}$	เมตริกซ์จัตุรัส [B] ที่มีองค์ประกอบของ $(f_r, f_r)$
$B_{f_r f_\theta}$	เมตริกซ์จัตุรัส [B] ที่มีองค์ประกอบของ $(f_r, f_\theta)$
$B_{f_r g}$	เมตริกซ์จัตุรัส [B] ที่มีองค์ประกอบของ $(f_r, g)$
$B_{f_\theta f_r}$	เมตริกซ์จัตุรัส [B] ที่มีองค์ประกอบของ $(f_\theta, f_r)$
$B_{f_\theta f_\theta}$	เมตริกซ์จัตุรัส [B] ที่มีองค์ประกอบของ $(f_\theta, f_\theta)$
$B_{f_\theta g}$	เมตริกซ์จัตุรัส [B] ที่มีองค์ประกอบของ $(f_\theta, g)$
$B_{g f_r}$	เมตริกซ์จัตุรัส [B] ที่มีองค์ประกอบของ $(g, f_r)$
$B_{g f_\theta}$	เมตริกซ์จัตุรัส [B] ที่มีองค์ประกอบของ $(g, f_\theta)$
$B_{gg}$	เมตริกซ์จัตุรัส [B] ที่มีองค์ประกอบของ $(g, g)$
$[B]$	เมตริกซ์จัตุรัส (square matrix)
$[C]$	เมตริกซ์เฉพาะที่มีองค์ประกอบเป็นสัมประสิทธิ์ที่ไม่ทราบค่า
$c_m$	สัมประสิทธิ์ที่ไม่ทราบค่า (unknown coefficient)
<b>D</b>	ความหนาแน่นฟลักซ์ไฟฟ้า (electric flux density)

## คำอธิบายสัญลักษณ์และคำย่อ (ต่อ)

สัญลักษณ์	ความหมาย
$d_m$	สัมประสิทธิ์ที่ไม่ทราบค่า (unknown coefficient)
$\mathbf{E}$	ความเข้มสนามไฟฟ้า (electric field intensity)
$E_t$	สนามไฟฟ้าในแนวภาคตัดขวาง (transverse electric field)
$E_z$	องค์ประกอบของสนามไฟฟ้าในแนวแกน z
$e_m$	สัมประสิทธิ์ที่ไม่ทราบค่า (unknown coefficient)
$\epsilon$	สภาพย้อม (permittivity)
$\epsilon_r$	สภาพย้อมสัมพัทธ์ (relative permittivity)
$f$	ฟังก์ชันกระตุน (excitation function)
$f_x$	องค์ประกอบของสนามไฟฟ้าในทิศทาง x
$f_y$	องค์ประกอบของสนามไฟฟ้าในทิศทาง y
$f_r(r)$	องค์ประกอบของสนามไฟฟ้าในทิศทาง r
$f_\theta(r)$	องค์ประกอบของสนามไฟฟ้าในทิศทาง $\theta$
$\mathbf{f}_t$	เวกเตอร์สนามไฟฟ้าในแนวตามขวาง
$F(\phi)$	ฟังก์ชันผล (functional) ที่มีตัวแปรไม่ทราบคือ $\phi$
$g_z$	ปริมาณสเกลาร์ขององค์ประกอบสนามไฟฟ้าในทิศทาง z
$g_r$	ปริมาณสเกลาร์ขององค์ประกอบสนามไฟฟ้าในทิศทาง r
$\mathbf{H}$	ความเข้มสนามแม่เหล็ก (magnetic field intensity)
$\mathbf{i}_x$	เวกเตอร์ที่นิ่งหน่วยในทิศทาง x
$\mathbf{i}_y$	เวกเตอร์ที่นิ่งหน่วยในทิศทาง y
$\mathbf{i}_z$	เวกเตอร์ที่นิ่งหน่วยในทิศทาง z
$\mathbf{i}_r$	เวกเตอร์ที่นิ่งหน่วยในทิศทาง r
$\mathbf{i}_\theta$	เวกเตอร์ที่นิ่งหน่วยในทิศทาง $\theta$
$k_0$	เวฟนัมเบอร์ในอากาศว่าง (wave number of freespace)
$l$	ตัวเลขค่อนໄทซ์มูมทิค (azimuthal quantization number)
$L$	ตัวดำเนินการอนุพันธ์ (differential operator)

## คำอธิบายสัญลักษณ์และคำย่อ (ต่อ)

สัญลักษณ์	ความหมาย
<b>n</b>	เวกเตอร์ที่มีหน่วยในทิศทางตั้งฉาก (unit vector)
$n_1$	ค่าดัชนีหักเหในตัวกลางที่ 1 (refractive index of media 1)
$n_2$	ค่าดัชนีหักเหในตัวกลางที่ 2 (refractive index of media 2)
$n_c$	ค่าดัชนีหักเหประสิทธิผลของแสง (effective refractive index)
$n(r)$	ค่าดัชนีหักเหภายในแกน (refractive index of core)
$N_i^e$	ฟังก์ชันการประมาณค่าในช่วง (interpolation function)
$\phi$	ตัวแปรไม่ทราบค่า (unknown variable)
$\phi_i^e$	คำตอบทดสอบ (testing function)
$\phi_i^e$	ตัวแปรไม่ทราบค่าคิดที่แต่งลงให้ดู
$\{\phi_i\}$	เวกเตอร์เจาะจง (eigenvalue)
$r$	หารัศมีของเส้นใยแสง (radius of fiber)
$r_0$	หารัศมีของแกน (radius of core)
$r_m$	ค่าที่จุดโคงอดิเนตเมื่อฟังก์ชันทดสอบ $u_m(r)$ มีค่าเท่ากับ 1
$R_e$	ค่าตากด (residuals)
$\lambda$	ค่าเจาะจง (eigenvalue)
$t_m(r)$	ฟังก์ชันทดสอบแบบขั้นบันได (step function)
$u_m(r)$	ฟังก์ชันทดสอบแบบรูฟท็อก (rooftop function)
$\mu$	ความซึมซึมได้ (permeability)
$\mu_r$	ความซึมซึมได้สัมพัทธ์ (relative permeability)
$V$	ความถี่บรรทัดฐาน (normalize frequency)
$W_e$	ฟังก์ชันให้น้ำหนัก (weighting function)
$w_t$	ฟังก์ชันให้น้ำหนักในแนวตามยาว
$w_z$	ฟังก์ชันให้น้ำหนักในแนวแกน z
$\omega$	ความถี่เชิงมุม (angular frequency)
$\Omega$	โดเมนทั้งหมดของปัญหา (domain)
$\Omega_e$	โดเมนย่อยของปัญหา (subdomain)